Дополнение к фауне заднежаберных моллюсков залива Петра Великого (Японское море): Melanochlamys chabanae (Heterobranchia: Aglajidae)

Е.М. Чабан¹, И.А. Екимова^{2, 3}, А.В. Чернышев^{2, 4}

¹Зоологический институт РАН, Санкт-Петербург 199034, Россия e-mail: echaban@zin.ru

²Дальневосточный федеральный университет, Владивосток 690600, Россия ³Московский государственный университет им. М.В. Ломоносова, Москва 119234, Россия e-mail: irenekimova@gmail.com

⁴Национальный научный центр морской биологии им. А.В. Жирмунского ДВО РАН, Владивосток 690041, Россия e-mail: chernyshev.av@dvfu.ru

На основании сборов 2015 и 2016 гг. уточнена фауна раковинных заднежаберных моллюсков рода *Melanochlamys* Cheeseman, 1881 зал. Петра Великого Японского моря: *Melanochlamys chabanae* Breslau, Valdés et Chichvarkhin, 2016 впервые отмечен для зал. Петра Великого. Неполовозрелые особи были собраны в зал. Восток с глубины 5–9 м, один половозрелый экземпляр *М. chabanae* был собран в зал. Петра Великого с глубины 60 м. Определение подтверждено данными молекулярного анализа по фрагментам генов COI, 16S и НЗ. Приведены новые данные морфологии этого вида в сравнении с ранее выявленным здесь *М. ezoensis*.

Ключевые слова: Cephalaspidea, *Melanochlamys*, морфология, Японское море.

Additional data on the opisthobranch fauna of Peter the Great Bay (Sea of Japan): Melanochlamys chabanae (Heterobranchia: Aglajidae)

Elena M. Chaban¹, Irina A. Ekimova^{2,3}, Alexei V. Chernyshev^{2,4}

¹Zoological Institute, Russian Academy of Sciences, St. Petersburg 199034, Russia e-mail: echaban@zin.ru

²Far Eastern Federal University, Vladivostok 690600, Russia ³Lomonosov Moscow State University, Moscow 119234, Russia e-mail: irenekimova@gmail.com

⁴A.V. Zhirmunsky National Scientific Center of Marine Biology, Far Eastern Branch, Russian Academy of Sciences, Vladivostok 690041, Russia e-mail: chernyshev.av@dvfu.ru

Melanochlamys chabanae Breslau, Valdés et Chichvarkhin, 2016 is reported for the first time from Peter the Great Bay, Sea of Japan. Subadult specimens were collected at a depth of 5–9 m in Vostok Bay. One adult specimen was collected in Peter the Great Bay at 60 m deep. The identification of this species is confirmed by molecular analysis based on COI, 16S and H3 markers. Additional data on the internal morphology of *M. chabanae* are presented.

Key words: Cephalaspidea, Melanochlamys, morphology, Sea of Japan.

Заднежаберные моллюски рода *Melanochlamys* Cheeseman, 1881 плохо различаются по признакам внешней и внутренней морфологии, поскольку лишены таких структур, как радула и пластинки гиззарда. Однако применение молекулярно-генетических методов показало четкие различия нескольких видов, встречающихся в северной части Тихого океана [Cooke et al., 2014; Breslau et al., 2016]. У побережья Приморья были отмечены 2 вида, *М. ezoensis* (Baba, 1957) в зал. Петра Великого и б. Рудной [Чабан, Чернышев, 2017; Cooke et al., 2014; Chichvarkhin, 2016] и *М. chabanae* Breslau, Valdés et Chichvarkhin, 2016 в зал. Владимира (Приморский край) [Breslau et al., 2016]. В фауне зал. Восток наличие *М. ezoensis* было указано как достоверно подтвержденное, в том числе с помощью молекулярных методов [Чабан, Чернышев, 2017]; также было высказано предположение о возможном нахождении и *М. chabanae* в зал. Петра Великого (см. там же).

До настоящего времени молекулярно-филогенетический анализ был осуществлен преимущественно для половозрелых экземпляров, поскольку дифференциальный диагноз видов рода Melanochlamys основывается главным образом на основе морфологии головного копулятивного аппарата. Так как проведенный ранее анализ одного неполовозрелого экземпляра из зал. Восток выявил наличие в этой акватории M. ezoensis [Cooke et al., 2014], то априори все меланохлямисы, собранные в этом заливе, относили к этому виду [Чабан, Чернышев, 2017, фототабл. 2, фиг. Е-G], что нашло подтверждение в анализе фрагмента гена СОІ. В августе 2016 г. в зал. Восток было собрано несколько неполовозрелых экземпляров рода Melanochlamys. Анализ молекулярного разделения видов свидетельствуют о принадлежности этих особей, а также половозрелого экземпляра Melanochlamys sp., собранного в зал. Петра Великого с глубины 60 м [Чабан, Чернышев, 2017, фототабл. 2, фиг. I, J] к M. chabanae. Изучение морфологии этого экземпляра позволило дополнить описание вида. Полученные филогенетические реконструкции подтверждают близкое родство этого вида с M. diomedea (Bergh, 1893) и M. kohi Cooke, Hanson, Hirano, Ornelas-Gatdula, Gosliner, Chernyshev et Valdés, 2014. Ниже приводим описание собранных экземпляров M. chabanae в сравнении с *М. ezoensis*, также собранного в зал. Восток [Чабан, Чернышев, 2017, фототабл. 2, фиг. С, D].

Материал и методика

Сбор материала. Материал собран в зал. Восток летом 2016 г. с помощью ручной драги, а также с борта катера в сентябре 2015 г. в открытой части зал. Петра Великого с помощью дночерпателя (лебедка с борта катера). Весь материал разбирался сразу, экземпляры содержались в холодильнике для дальнейшего изучения и фотографирования, затем фиксировались 96% этанолом. Морфология раковины и головного копулятивного аппарата изучались и фотографировались с помощью световых микроскопов Leica DME и МСП-1. Материал хранится в Зоологическом институте РАН (г. С.-Петербург).

Молекулярный анализ. Выделение ДНК из трех экземпляров, собранных в зал. Петра Великого (табл. 1) было осуществлено с помощью набора DiatomTM DNA Prep 100 (лаборатория Изоген), согласно протоколу производителя с небольшими изменениями. Для выделения были использованы мягкие ткани моллюска (1-2 мм³). Амплификация фрагментов генов I субъединицы оксидазы цитохрома с (COI), 16S рРНК и гистона НЗ была проведена с использованием универсальных праймеров HCO2198 (5'-TAAACTTCAGGGTGACCAAAAAATCA-3'), LCO1498 (5'-GGTCAACAAATCATAAAGATATTGG-3') [Folmer et al., 1994], 16SarL (5'-CGCCTGTTTAACAAAAACAT-3') [Palumbi et al., 1991], 16SR (5'-CCGRTYTGAACTCAGCTCACG-3') [Puslednik, Serb, 2008], H3AF (5'-ATGGC-TCGTACCAAGCAGACVGC-3'), H3AR (5'-ATATCCTTRGGCATRATRGTGAC-3') [Colgan et al., 1998] соответственно. Состав реакционной смеси для амплификации (общий объем 20 мкл): 4 мкл 5x Screen Mix-HS (Лаборатория Евроген), 0.3-0.5 мкл прямого и обратного праймеров (10 мкМ сток), 1 мкл геномной ДНК и 13.4–14 µL деионизированной дистиллированной воды. Амплификация фрагментов генов производилась по следующей схеме: предварительное плавление ДНК – 95°C, 5 мин, синтез ПЦР-продуктов (35 циклов): плавление – 95°C, 15 с, отжиг праймеров – 45°C, 30 c, синтез ДНК – 72°C, 45 c. Окончательная достройка цепей – 72°C, 7 мин. Для амплификации фрагментов 16S температура отжига праймеров была увеличена до 52°C.

Продукты реакции были проанализированы с применением электрофореза в 1.5–2%-ном агарозном геле. При постановке реакции секвенирования участков генов были использованы те же праймеры в обоих направлениях. Секвенирование проведено на автоматическом секвенаторе ABI Prism 3500 Genetic Analyzer (Life

Таблица 1 Список экземпляров рода *Melanochlamys* из залива Петра Великого, использованных в молекулярном анализе

Table 1 Specimens of *Melanochlamys* from Peter the Great Bay used in molecular analysis

Вид	Место сбора	Ваучер	COI	16S	Н3
M. ezoensis	Зал. Восток	IE216*	KX683209	KX683211	KX683210
M. chabanae	Зал. Восток	EC53	MK012182	MK012185	MK012188
M. chabanae	Зал. Восток	EC51	MK012183	MK012186	MK012189
M. chabanae	42°46.911′ с.ш., 132°39.284′ в.д.	EC17	MK012181	MK012184	MK012187

^{*} Фотография экземпляра содержится в статье Чабан и Чернышева [2017, табл. 2, рис. С, D].

^{*} For photo of the alive specimen see Chaban and Chernyshev [2017, pl. 2, fig. C, D].

Technologies, США) на базе Института биологии развития им. Н.К. Кольцова РАН с использованием наборов реактивов BigDye Terminator v.3.1 (Applied Biosystems, США) согласно протоколу производителя.

Все полученные в результате чтения последовательности фрагментов исследуемых генов были проверены на принадлежность к роду *Melanochlamys* с помощью программы BLAST, с использованием базы данных GenBank (NCBI) (http://www.ncbi.nlm.nih.gov/). Последовательности с прямых и обратных праймеров были сведены в единую последовательность с помощью программы Geneious 8.0.5. Для сравнения полученных нами фрагментов COI, 16S и H3 с таковыми других видов рода *Melanochlamys*, в пакете программ MEGA6.06 [Tamura et al., 2013] было сделано выравнивание с помощью алгоритма MUSCLE [Edgar, 2004] отдельно для каждого гена. За основу были взяты последовательности из последних работ по таксономии рода [Cooke et al., 2014; Breslau et al., 2016], депонированные в базу данных GenBank. Финальные выравнивания по каждому гену составили: 579 п.н. для COI, 329 п.н. для H3, 416 п.н. для 16S pPHK.

Реконструкция филогенетических деревьев была выполнена с помощью Байесовского анализа (Bayesian Inference, BI). Реконструкция была проведена по объединённым последовательностям всех исследуемых фрагментов. Наиболее оптимальная модель эволюции была определена с помощью программы пакета МЕGA6.10 [Tamura et al., 2013] с использованием Байесовского информационного критерия (Bayesian information criterion, BIC). Байесовский анализ был проведен в программе MrBayes 3.1.2. [Ronquist, Huelsenbeck, 2003]. Каждый локус был проанализирован отдельно в соответствие с выбранными моделями их эволюции. Финальные филогенетические реконструкции были визуализированы в программе Fig Tree Drawing Tool v.1.4.0.

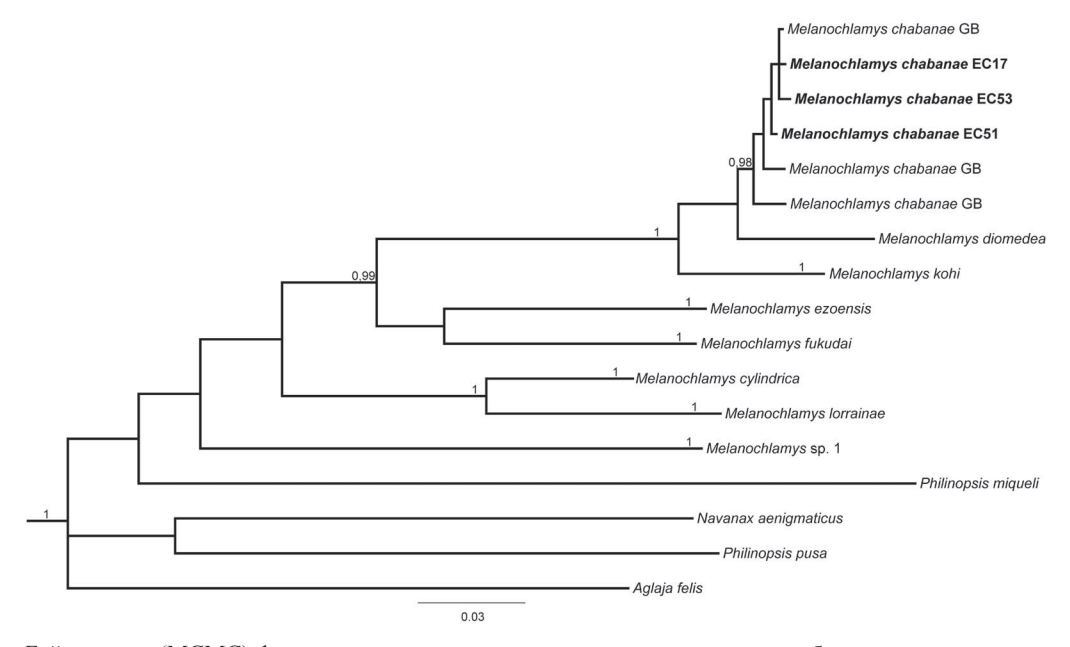
Тест делимитации видов при помощи метода Automatic Barcode Gap Discovery (ABGD) [Puillandre et al., 2012] по фрагменту COI был проведен с помощью программы ABGD Web (http://www.abi.snv.jussieu.fr/public/abgd/abgdweb.html) при использовании всех предложенных моделей и настроек по умолчанию.

Нескорректированные p-дистанции посчитаны в пакете программы MEGA6.10 [Tamura et al., 2013].

Результаты

Молекулярно-филогенетический анализ

Топология молекулярно-филогенетический реконструкции (см. рисунок) полностью соответствует деревьям, представленным в работах Кук с соавторами [Cooke et al., 2014] и Бреслау с соавторами [Breslau et al., 2016]. Все изученные в данной работе особи кластеризуются вместе с типовым материалом M. chabanae (апостериорная вероятность (PP)=0.98). Этот вид является сестринским



Байесовская (МСМС) филогенетическая гипотеза, основанная на анализе объединенных последовательностей (COI+16S+H3), клады видового уровня слиты, кроме клады *Melanochlamys chabanae*. Образцы из зал. Петра Великого выделены полужирным шрифтом. Над ветвями указаны апостериорные вероятности Байесовского анализа со значениями более 0.95.

Phylogenetic hypothesis based on combined molecular data (COI+16S+H3) represented by Bayesian inference, species-level branches collapsed except *Melanochlamys chabanae* clade. Specimens from Peter the Great Bay are highlighted in bold. Numbers above branches indicate posterior probabilities from Bayesian inference (>0.95).

видом M. diomedea, однако поддержка этой клады низка (PP=0.71). Еще один филогенетически близкий тихоокеанский вид, M. kohi, располагается базально к ним (PP=1).

Анализ молекулярного разделения видов

По результатам ABGD анализа последовательностей COI с использованием всех предлагаемых моделей было выявлено 8 групп при значениях P_{max} от 0.001 до 0.012. Эти группы соответствуют кладам видового уровня рода Melanochlamys, реконструированным по результатам молекулярно-филогенетического анализа. Особи из зал. Петра Великого образовали единую группу с типовыми экземплярами M. chabanae из зал. Владимира (см. рисунок).

Внутривидовые и межвидовые нескорректированные *р*-дистанции по фрагментам COI, 16S и H3 представлены в таблице 2.

Исходя из результатов молекулярно-филогенетического анализа и анализа молекулярного разделения видов, особи из зал. Петра Великого конспецифичны особям из зал. Владимира и, следовательно, относятся к одному виду — M. chabanae.

Таблица 2

Нескорректированные внутривидовые *p*-дистанции *M. chabanae* и межвидовые дистанции *M. chabanae* от других видов рода *Melanochlamys* по фрагментам COI, 16S и H3 (в %).

Table 2 Uncorrected intra- and interspecific *p*-distances of COI, 16S and H3 loci between *Melanochlamys chabanae* and other *Melanochlamys* species (%)

Вид	COI	16S	Н3
M. chabanae (внутривидовые)	0.5–2.7	0-0.3	0-0.7
M. cylindrica	22.4–23.3	4.6-5.1	n/a
M. diomedea	7.6–8.7	1.0-1.3	0.3-0.9
M. ezoensis	20.2–20.8	3.3-3.8	2.8-3.4
M. fukudai	18.8–19.5	3.6-4.1	1.2-1.8
M. kohi	7.6–8.7	2.5-2.8	0-0.7
M. lorrainae	22.0-22.4	5.1-5.3	n/a
Melanochlamys sp. 1	21.3–22.4	8.8	n/a

Систематическая часть

Отряд CEPHALASPIDEA

Семейство **Aglajidae** Pilsbry, 1895 Род *Melanochlamys* Cheeseman, 1881

Melanochlamys chabanae Breslau, Valdés et Chichvarkhin, 2016 Фототаблица 1, фиг. A–G; фототаблица 2, фиг. A–B Plate 1, figs. A–G; Plate 2, figs. A–B

Melanochlamys diomedea (Bergh, 1893): Чабан, Мартынов, 1998, рис. 1D, E (non Bergh, 1894). *Melanochlamys* sp.: Cooke et al., 2014, p. 365; Chichvarkhin, 2016, figs. 2C, 2D; Чабан, Чернышев, 2017, фототабл. 2, фиг. I, J.

Melanochlamys chabanae Breslau, Valdés et Chichvarkhin, 2016: p. 106, fig. 2.

Типовое местонахождение. Японское море, зал. Владимира, глубина 1—9 м.

Типовой материал. Голотип, МІМВ 30354 (Национальный научный центр морской биологии им. А.В. Жирмунского ДВО РАН, Владивосток), зал. Владимира; паратипы: МІМВ 30355, зал. Владимира; LACM 3431 (Natural History Museum of Los Angeles County); CPIC 001267 (California State Polytechnic Invertebrate Collection); CPIC 001268.

Материал. 12–16.08.2016 г., зал. Петра Великого, зал. Восток, глубина 5–9 м, ил, драга, сб. А.В. Чернышев, Е.М. Чабан – 9 экз.; зал. Петра Великого, 2015 г., $42^{\circ}46.911'$ с.ш., $132^{\circ}39.284'$ в.д., глубина 60 м, дночерпатель, сб. Н.В. Кашенко – 1 экз.

О п и с а н и е. Живой половозрелый экземпляр длиной 14 мм, бледно-коричневый с коричневыми пятнами [Чабан, Чернышев, 2017, фототабл. 2, фиг. I, J], удлиненной формы; ширина тела около 1/3 его длины, головной щит чуть короче залней части тела.

В процессе фиксации экземпляр сократился очень сильно и изогнулся так, что его длина не превышает 7 мм (фототабл. 1, фиг. А, В), тело стало относительно толще, его головной щит стал значительно короче задней части тела. Цвет тела фиксированного экземпляра — оливковый с небольшими участками белого в задней части тела и почти белый с многочисленными пятнами оливкового на головном щите. Выемка заднего края мантии хорошо видна как у живых, так и у фиксированных экземпляров. Раковина вскрытого экземпляра оказалась значительно разрушенной.

Неполовозрелые живые особи в сборах представлены экземплярами длиной 2–6 мм (фототабл. 1, фиг. E, F), их головной щит составляет примерно 1/3 длины тела; окраска — на светлом фоне плотно расположенны оливковые мелкие пятнышки.

Глотка крупная, вздутая, мускулистая, длиной 0.8мм и шириной около 0.5 мм (фототабл. 1, фиг. C, D). Она лишена челюстей и радулы и служит для всасывания пищевых объектов. Короткий пищевод ведет в крупный тонкостенный вздутый зоб (фототабл. 1, фиг. C, D); узкий желудок двумя протоками соединен с лопастями крупной пищеварительной железы (фототабл. 1, фиг. C); кишечник, делая дугу между лопастями пищеварительной железы, открывается в мантийную полость.

Гермафродитная часть половой системы занимает довольно большой объем висцерального мешка (фототабл. 1, фиг. С, D): крупная телесного цвета гонада, узкая извилистая и относительно короткая ампула, крупная прозрачная изогнутая слизистая с небольшой дополнительной лопастью, и небольшая непрозрачная белковая железы; ближе к переднему концу тела справа под пищеварительной железой лежит gametolytic sac (не показан), а слева – изогнутый receptaculum seminis (фототабл. 1, фиг. D). Головной копулятивный аппарат (фототабл. 1, фиг. G; фототабл. 2, фиг. A, B) состоит из мешка пениса, простаты и семенного пузырька. В мешке пениса хорошо видны вносящая семенная борозда (incurrent sperm groove), длинный изогнутый пенис со стилетом, короткая широкая складка выносящей семенной борозды (excurrent sperm groove). Простата (pr) (фототабл. 2, фиг. А, В) недлинная, широкая, изогнутая почти под прямым углом, одним концом соединяется с основанием мешка пениса; семенной пузырек (sb) (фототабл. 2, фиг. А) узкий удлиненный извилистый с небольшим расширением к концу, он также присоединяется к основанию мешка пениса. Семенной пузырек короче простаты примерно в два раза. Все части головного копулятивного

аппарата многочисленными мышечными (?) волокнами присоединены к стенке тела; мышечный ретрактор присоединяется к середине простаты (фототабл. 2, фиг. A-m). Семенной пузырек также крепится к стенке тела мышечными волокнами и при вскрытии оказался оторванным от мешка пениса, но место их соединения (фототабл. 2, фиг. A, B – обозначено стрелкой) хорошо маркируется извилистым тонким непрозрачным семяизвергательным каналом, видимым с одной стороны в основании мешка пениса, а с другой – в семенном пузырьке (фототабл. 2, фиг. A).

Распространение. В зал. Восток достоверно встречены на глубине 5–9 м в августе, на илистом грунте. В открытой части зал. Петра Великого собран на глубине 60 м. В зал. Владимира в мае встречен на глубине 1–9 м частично зарывшимися в песчаный грунт [Breslau et al., 2016; Chichvarkhin, 2016]. Отмечен для Южной Кореи (Wando Island, South Jeolla Province) [Cooke et al., 2014].

З а м е ч а н и я. *М. chabanae* впервые был описан по нескольким экземплярам, собранным в зал. Владимира (Приморский край) с глубины 1-9 м с помощью водолазного снаряжения. В описании отмечено [Breslau et al., 2016], что головной копулятивный аппарат существенно отличается от всех типов копулятивных аппаратов, описанных ранее для видов рода Melanochlamys [Cooke et al., 2014], а именно: простата и семенной пузырек одинаковой длины, а мышечный ретрактор крепится к семенному пузырьку. К сожалению, авторы не расправили копулятивный аппарат, и на рисунке семенной пузырек наложен на простату, и непонятно, вся ли длина простаты видна, и к чему крепится мышечный ретрактор [Breslau et al., 2016, fig. 2B]. Единственная изученная нами половозрелая особь собрана в зал. Петра Великого с глубины 60 м. По размерам и внешней морфологии наш экземпляр не отличается от экземпляров из зал. Владимира, однако, у нашего экземпляра пигментация живого экземпляра коричневая, простата в два раза длиннее семенного пузырька, а мышечный ретрактор прикреплен к простате (фототабл. 2, фиг А). Эти различия ставят вопрос о границах внутривидовой изменчивости окраски тела и морфологии половой системы *M. chabanae*. Морфология головного копулятивного аппарата M. chabanae имеет большое сходство с филогенетически близким видом M. diomedea (см.: Cooke et al. [2014, suppl. S1, fig. 2D]): головной копулятивный аппарат обоих видов включает довольно короткую толстую простату и маленький извитой семенной пузырек. На основании такой морфологии головного копулятивного аппарата M. diomedea был отмечен ранее для фауны российской части Японского моря от зал. Посьета до Татарского пролива [Чабан, Мартынов, 1998, фиг. 1Е], однако уточненный ареал этого вида включает теперь только тихоокеанское побережье Северной Америки [Cooke et al., 2014]. В связи с вышесказанным, экземпляры меланохлямисов из российских вод Японского моря, указанные ранее как M. diomedea, с подобной морфологией головного копулятивного аппарата (см.: Чабан, Мартынов [1998, фиг. 1Е, D]) мы относим здесь к М. chabanae. Следует отметить, что, как в первоописании M. chabanae, так и у экземпляра с глубины 60 м, изучить морфологию раковины не представилось возможным, т.к. в обоих случаях раковина оказалась разрушенной, а значит, рисунок раковины, приведенный в работе Чабан и Мартынова [1998] для *M. diomedea* [1998, фиг. 1D] является единственным на данный момент изображением раковины *M. chabanae*.

От M. ezoensis (фототабл. 2, фиг. C–F), также обитающего в Японском море (в том числе в зал. Петра Великого), M. chabanae отличается как меньшим количеством темного пигмента, так и морфологией головного копулятивного аппарата. Головной копулятивный аппарат M. ezoensis (фототабл. 2, фиг. D) образован пенисом (p) c клапаном, тонкой извитой простатой (pr) и тонким, очень длинным и сильно извитым семенным пузырьком (sb). Последний признак является хорошим диагностическим для различения половозрелых особей этих двух видов, в то время как раковины этих двух видов похожи.

Фотографии неполовозрелых особей, определенных как M. ezoensis, были опубликованы ранее [Чабан, Чернышев, 2017, фототабл. 2, фиг. F, G]. Можно отметить, что рисунок F [Чабан, Чернышев, 2017] соответствует фотографиям неполовозрелых особей M. chabanae, приведенных в настоящей работе (фототабл. 1, фиг. E, F): особи на этих фотографиях имеют очень плотный рисунок оливковых пятнышек и их головной щит составляет 1/3 длины тела. В то же время неполовозрелый экземпляр на рисунке G [Чабан, Чернышев, 2017] существенно отличается как пропорциями головного щита, так и более редкими оливковыми пятнышками. Можно предположить, что это действительно изображение неполовозрелого экземпляра M. ezoensis, однако для достоверного дифференциального диагноза неполовозрелых экземпляров этого вида необходимо подтверждение идентификации с помощью молекулярных методов.

Обсуждение

Аглаиды рода Melanochlamys часто встречаются в российских водах Японского моря. Так с 1925 по 1985 гг. они были встречены на 28 станциях в общем количестве 68 экз. [Чабан, Мартынов, 1998, как M. diomedea], причем в Дальневосточном государственном морском биосферном заповеднике они встречались с плотностью 6-7 экз./м² при частоте встречаемости 15.8% [Гульбин, 1990; как «Aglaja gigliolii» – см. Чабан, Мартынов [1998]]. Выборочный анализ нескольких экземпляров этого рода методами молекулярно-генетического анализа показал наличие двух видов в зал. Петра Великого – M. ezoensis и M. chabanae [Чабан, Чернышев, 2017; Cooke et al., 2014; Chichvarkhin, 2016; настоящая работа]. Эти виды хорошо различаются между собой по морфологии головного копулятивного аппарата. Однако можно предположить, что разнообразие видов этого рода в российских водах Японского моря не исчерпывается этими двумя видами, ведь из холодных и умеренных вод Японии от Хоккайдо до зал. Сагами был описан Melanochlamys fukudai Cooke, Hanson, Hirano, Ornelas-Gatdula, Gosliner, Chernyshev et Valdés, 2014, а M. kohi известен из одной точки в Южной Корее с M. chabanae [Cooke et al., 2014; Breslau et al., 2016].

Благодарности

Работа выполнена при финансовой поддержке по бюджетной теме АААА-А17-117030310207-3. Приносим благодарность Д.М. Щепетову (ИБР РАН) за помощь в постановке сиквенсовой реакции, Е.В. Солдатенко (ЗИН РАН) за фотографию *М. chabanae* (SEM), а также Н.В. Кашенко (ННЦМБ ДВО РАН) за помощь в сборе материала. Авторы благодарны анонимным рецензентам за высказанные замечания к рукописи. Проведение молекулярно-генетического анализа было осуществлено при поддержке Российского научного фонда (проект № 14-50-00034).

Литература

- *Гульбин В.В.* 1990. Брюхоногие моллюски мягких грунтов сублиторали Дальневосточного морского заповедника // Систематика и экология гидробионтов Дальневосточного морского заповедника. Владивосток: ДВО АН СССР. С. 105–123.
- *Чабан Е.М., Мартынов, А.В.* 1998. *Melanochlamys diomedea* (Bergh, 1893) (Opisthobranchia: Aglajidae), новый для фауны России род и вид // Ruthenica (Russian Malacological Journal). Т. 8. С. 147–152.
- Чабан Е.М., Чернышев А.В. 2017. Заднежаберные моллюски отряда Cephalaspidea (Gastropoda: Opisthobranchia) залива Восток Японского моря. Часть 2 // Бюллетень Дальневосточного малакологического общества. Вып. 21. С. 39–53.
- Breslau E., Valdés Á., Chichvarkhin A. 2016. A new cryptic species of Melanochlamys (Gastropoda: Heterobranchia: Cephalaspidea) from the Northwestern Pacific // American Malacological Bulletin. V. 34, N 2. P. 103–108.
- Chichvarkhin A. 2016. Shallow water sea slugs (Gastropoda: Heterobranchia) from the northwestern coast of the Sea of Japan, north of Peter the Great Bay, Russia // PeerJ. N 4: e2774; DOI 10.7717/peerj.2774.
- Colgan D., Macaranas J., Cassis G., Gray M.R. 1998. Histone H3 and U2 snRNA DNA sequences and arthropod molecular evolution // Australian Journal of Zoology. V. 46. P. 419–437.
- Cooke S., Hanson D., Hirano Y., Ornelas-Gatdula E., Gosliner T.M., Chernyshev A.V., Valdés Á. 2014. Cryptic diversity of *Melanochlamys* sea slugs (Gastropoda, Aglajidae) in the North Pacific // Zoologica Scripta. V. 43. P. 351–369.
- Edgar R.C. 2004. MUSCLE: multiple sequence alignment with high accuracy and high throughput // Nucleic Acids Research. V. 32, N 5. P. 1792–1797.
- Folmer O., Black M., Hoeh W., Lutz R., Vrijenhoek R. 1994. DNA primers for amplification of mitochondrial cytochrome c oxidase subunit I from diverse metazoan invertebrates // Molecular Marine Biology and Biotechnology. V. 3. P. 294–299.
- Palumbi S.R., Martin A., Romano S., McMillan W.O., Stice L., Grabowski G. 1991. The Simple Fool's Guide to PCR, Version 2 Edition. Honolulu: Department of Zoology, University of Hawaii. 12 p.
- Puillandre N., Lambert A., Brouillet S., Achaz G. 2012 ABGD, Automatic Barcode Gap Discovery for primary species delimitation // Molecular Ecology. V. 21. P. 1864–1877.
- Puslednik L., Serb J.M. 2008. Molecular phylogenetics of the Pectinidae (Mollusca: Bivalvia) and effect of increased taxon sampling and outgroup selection on tree topology // Molecular Phylogenetics and Evolution. V. 48. P. 1178–1188.
- Ronquist F., Huelsenbeck J.P. 2003. MRBAYES 3: Bayesian phylogenetic inference under mixed models // Bioinformatics. V. 19. P. 1572–1574.
- Tamura K., Stecher G., Peterson D. 2013. MEGA6: Molecular Evolutionary Genetics Analysis version 6.0 // Molecular Biology and Evolution. V. 30. P. 2725–2729.

Published online December 27, 2018

Подписи к фототаблицам Explanations of Plates

Фототаблица 1 Plate 1

Меlanochlamys chabanae: фиксированный экземпляр, собранный в зал. Петра Великого с глубины 60 м, дорсально (**A**), латерально (**B**) (фотографию живого экземпляра см.: Чабан, Чернышев [2017, фототаблица 2, фиг. I, J]); вскрытый экземпляр (**C**, **D**); неполовозрелые экземпляры, собранные в зал. Восток с глубины 5–9 м (**E**, **F**); пенис экземпляра из зал. Восток, определенного ранее как M. diomedea (см. Чабан, Мартынов, 1998), SEM, фото Е.В. Солдатенко (**G**). Обозначения: a.gl – белковая железа, ch.t – хитиновый стилет, cr – зоб, dgl.d – проток пищеварительной железы, dgl.l – лопасть пищеварительной железы, ex – семяизвергательный канал, f – нога, go – гонада, hsh – головной щит, in – канал внутренней семенной борозды, m – ретрактор пениса, m.gl – слизистая железа, p – пенис, ph – глотка, pr – простата, psh – мешок пениса, r.s – семеприемник, sb – семенной пузырек, st – желудок. Масштаб: A, B C, D, E, F – 2 мм; G – 100 мкм.

Melanochlamys chabanae: fixed specimen which was collected at 60 m deep in Peter the Great Bay, dorsal view (**A**), lateral view (**B**) (for photo of the alive specimen see Chaban and Chernyshev [2017, pl. 2, figs. I, J]); prepared specimen (**C**, **D**); subadult specimens which were collected at 5–9 m deep in Vostok Bay, Peter the Great Bay (**E**, **F**); penis of specimen collected in Peter the Great Bay and identified as *M. diomedea* previously (see Chaban and Martynov [1998]), SEM, photo by E.V. Soldatenko (**G**). Abbreviations: a.gl – albumine gland, ch.t – chitinous tip, cr – crop, dgl.d – duct of digestive gland, dgl.l – lobe of digestive gland, ex – excurrent sperm groove, f – foot, go – gonade, hsh – headshield, in – incurrent sperm groove, m – retractor muscle, m.gl – mucous gland, p – penial papilla, ph – pharinx, pr – prostate, psh – penial sheath, r.s – receptaculum seminis, sb – spermatic bulb vesicle, st – stomach. Scale bar: A, B C, D, E, F – 2 mm; G – 100 μm.

Фототаблица 2 Plate 2

Меlanochlamys chabanae (A, B): головной копулятивный аппарат, полный комплект с семенным пузырьком (лежит рядом) (A); увеличено, без семенного пузырька (B). M. ezoensis (C–F): половозрелый фиксированный экземпляр, собран в зал. Восток среди *Corallina* sp. на глубине 1 м (фотографию живого экземпляра см. Чабан, Чернышев [2017, фототабл. 2, фиг. C, D]) (C); головной копулятивный аппарат (D); раковина дорсально (E), вентрально (F). Обозначения: ch.t – хитиновый стилет, ex — семяизвергательный канал, in — канал внутренней семенной борозды, in — ретрактор пениса, in — пенис, in — простата, in — мешок пениса, in — семенной пузырек. Масштаб: in — in — in — in in — in —

Melanochlamys chabanae (**A**, **B**): male copulatory system, full set, spermatic bulb included (**A**); enlarged, spermatic bulb not included (**B**). *M. ezoensis* (**C**–**F**): adult specimen which was collected in Vostok Bay, Peter the Great Bay, between *Corallina* sp. at 1 m deep (for photo of the alive specimen see Chaban and Chernyshev [2017, pl. 2, figs. C, D]) (**C**); male copulatory system (**D**); shell, dorswal view (**E**), ventral view (**F**). Abbreviations: ch.t – chitinous tip, ex – excurrent sperm groove, in – incurrent sperm groove, m – retractor muscle, p – penial papilla, pr – prostate, psh – penial sheath, sb – spermatic bulb. Scale bar: A, B – 1 mm; C, E, F – 2 mm.

Plate 1

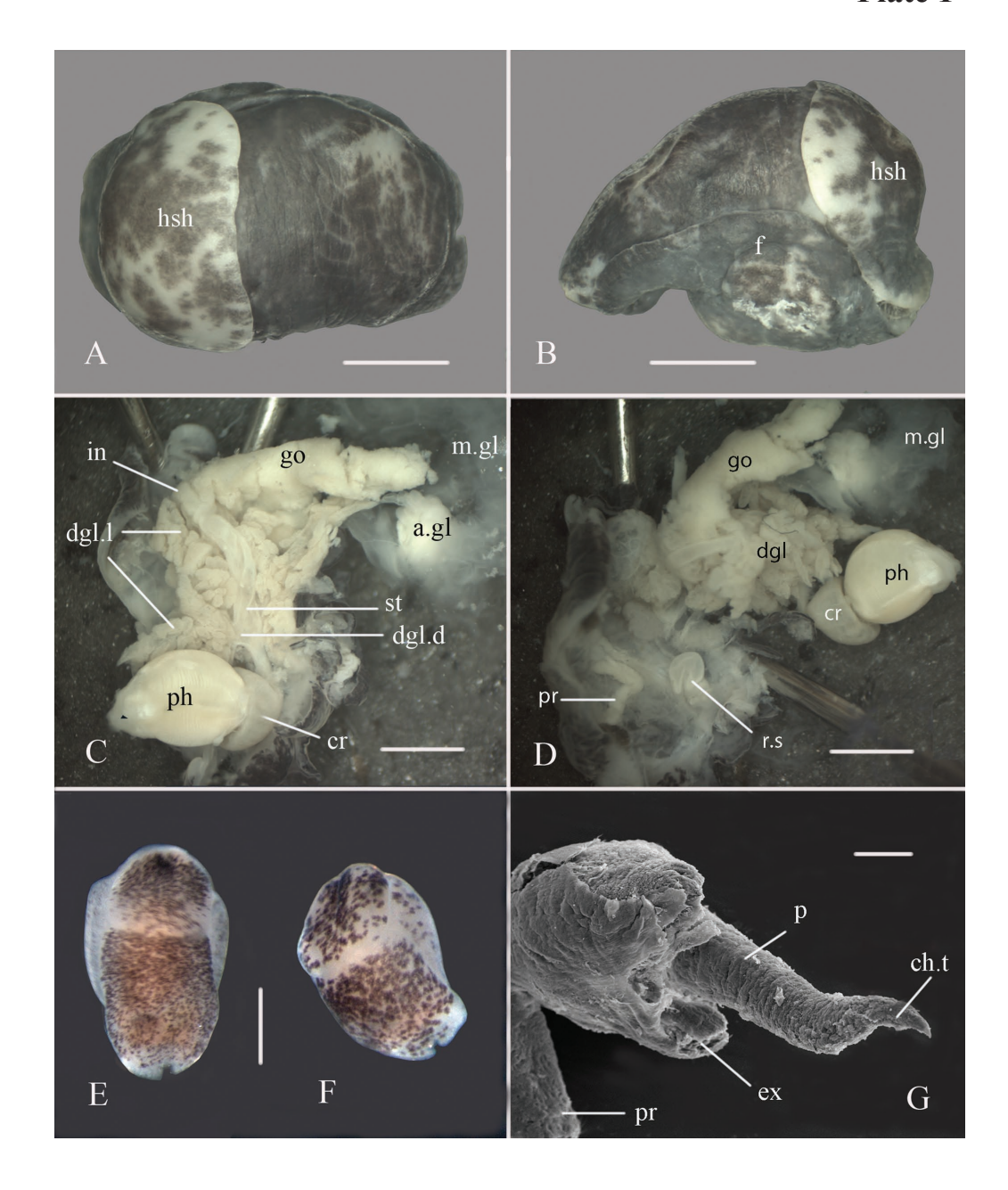


Plate 2

